

## Projet 8 - ISOL\_MOS / Commande isolée pour transistor MOSFET

Projet : LMP1

Info : [DATA098]

Révision : 2 du 10 mars 1999 – Orcad 4.20

Révision : 3 du 6 octobre 2001 – Orcad 9.xx

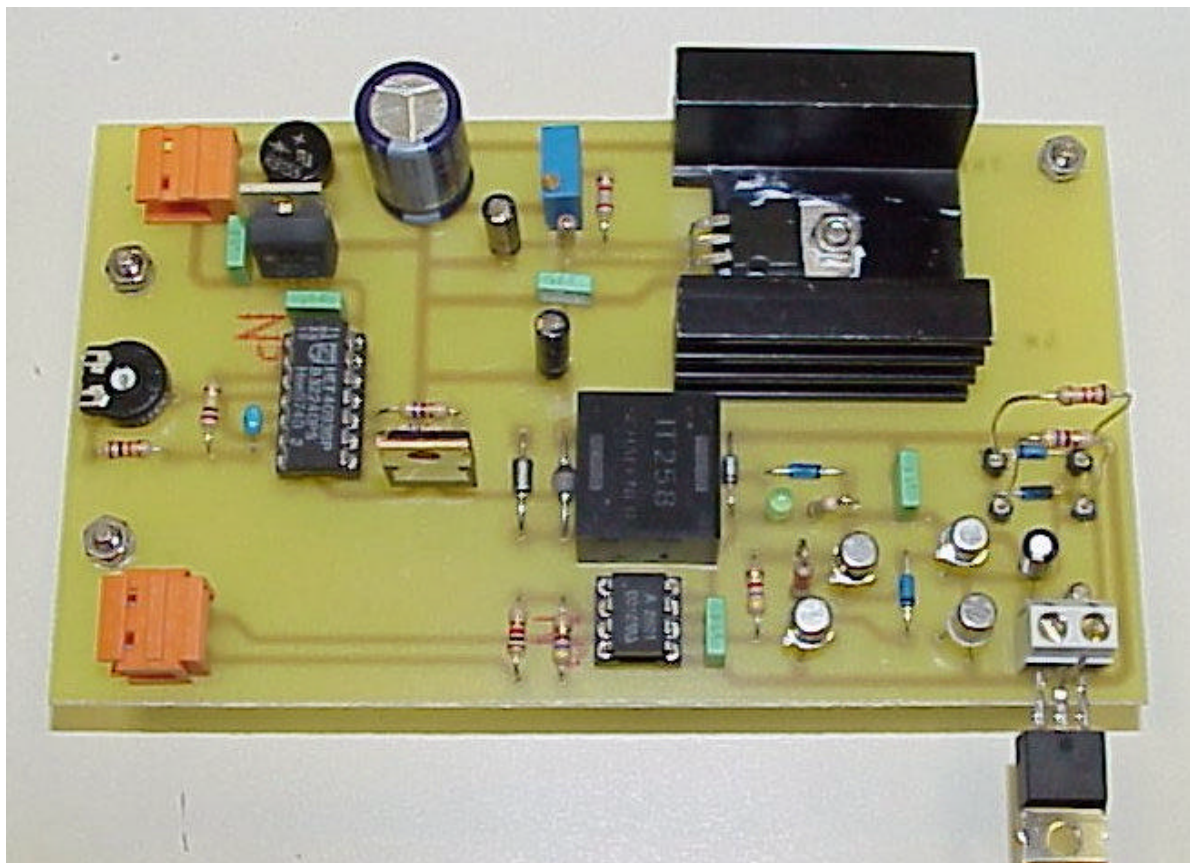


Fig. 8.1. Commande isolée pour MOSFET (images-maquettes\isol-mos-31.jpg).

### 8.1 Liste des plans

- Calcul du régulateur LM 217.
- Liste des composants.
- Allure des principaux composants.
- Schéma électrique.
- Circuit imprimé.
- Documentations des composants.

## 8.2 Calcul du régulateur LM 217

La figure 8.2 donne le schéma de montage des régulateurs ajustables LM 117/217/317.

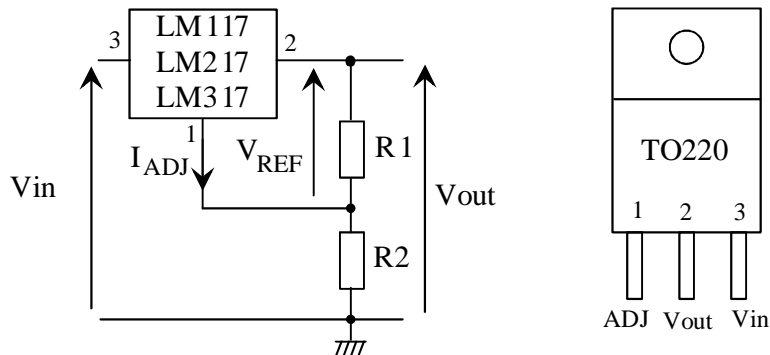


Fig. 8.2. Schéma de montage du régulateur (orcad\lmp1\regul1.drw).

La valeur de V<sub>REF</sub> est constante et vaut V<sub>REF</sub> = 1,25 V. Le courant de polarisation du régulateur I<sub>ADJ</sub> est donné à I<sub>ADJ</sub> = 50 µA. On prendra une chute de tension minimal V<sub>IN</sub> - V<sub>OUT</sub> de 3V.

Les courants dans R1 et R2 sont donnés par :

$$I_1 = \frac{V_{REF}}{R1} \text{ et } I_2 = I_1 + I_{ADJ} = \frac{V_{REF}}{R1} + I_{ADJ} = \frac{V_{OUT} - V_{REF}}{R2} \quad (8.1)$$

On en déduit alors l'expression de la tension de sortie V<sub>OUT</sub> :

$$V_{OUT} = R2 \cdot (I_1 + I_{ADJ}) + V_{REF} = \left( \frac{R2}{R1} + 1 \right) \cdot V_{REF} + R2 \cdot I_{ADJ} \quad (8.2)$$

On peut également exprimer la valeur de la résistance R2 en fonction de V<sub>OUT</sub> :

$$R2 = \frac{V_{OUT} - V_{REF}}{(I_1 + I_{ADJ})} = \frac{V_{OUT} - V_{REF}}{\left( \frac{V_{REF}}{R1} + I_{ADJ} \right)} \quad (8.3)$$

Dans les notes d'applications, on trouve deux valeurs de résistances R1 :

$$R1 = 120 \Omega \text{ et } R1 = 240 \Omega$$

Le tableau donne la plage de variation de la résistance R2, pour R1 = 240 Ω en fonction de la tension de sortie désirée V<sub>OUT</sub>, ainsi que la valeur du condensateur de filtrage.

Tableau 8.1. Calcul des régulateurs LM 117/217/317 (orcad\lmp1\regulateurs.xls).

Vout (en V)	5	9	12	15	18	20	24
R2 (en ohms)	713	1474	2044	2615	3185	3566	4326
Vin mini (en V)	8	12	15	18	21	23	27
V2AC eff (en V)	9	12	15	18	22	24	24
Vc maxi (en V)	12,0	16,3	20,5	24,8	30,4	33,2	33,2
Iout maxi (en A)	1	1	1	1	1	1	1
C mini (en uF)	2483	2342	1814	1480	1062	976	1602

### 8.3 Liste des composants

Tableau 8.2. Liste de composants (*projets-lmp1.xls / ISOL\_MOS*).

No	Quantité	Référence	Désignation	Empreinte
1	3	C1,C9,C10	100nF	CK06
2	1	C2	1uF	RADIAL08
3	2	C4,C3	4.7uF	RADIAL08
4	1	C5	1nF	CK06
5	1	C6	330uF	RADIAL08
6	1	C7	330nF	CK06
7	1	C8	10uF	RADIAL06
8	4	D1,D3,D6,D7	BAT48	DO35
9	1	D2	BYV95A	DO41
10	1	D4	5.1V	DO41
11	1	D5	Verte	LED5
12	1	D8	1A 100V	REDROND
13	1	D9	24V	DO41
14	1	JP1	SORTIE	02PL2
15	1	JP2	ENTREE	WEID2
16	1	JP3	ALIM	WEID2
17	3	Q1,Q2,Q4	2N2222	TO18
18	1	Q3	2N2907	TO18
19	1	Q5	IRF520N	TO220
20	1	R1	2.2K	RC04
21	1	R2	4.7K	RC04
22	1	R3	750	RC04
23	1	R4	100K	RC04
24	2	R5,R9	1K	RC04
25	3	R6,R8,R10	470	RC04
26	1	R7	10K	RAJ1
27	1	R11	R_ON	RC04
28	1	R12	R_OFF	RC04
29	1	R13	2K	RAJ10TV
30	1	R14	1.8K	RC04
31	1	R15	240	RC04
32	1	T1	IT258	TI33
33	1	U1	CD4093	14DIP300L
34	1	U2	LM217	TO220RF2
35	1	U3	7815	TO220
36	1	U4	HCPL2601	08DIP300L
37	3	VIS1,VIS2,VIS3	VISSERIE	M3

## 8.4 Allure des principaux composants

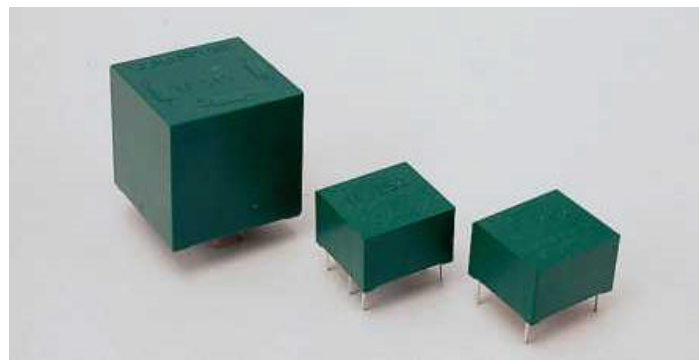


Fig. 8.3. Transformateurs d'impulsions (images-composants\ti1.jpg).

### Type de boîtier:

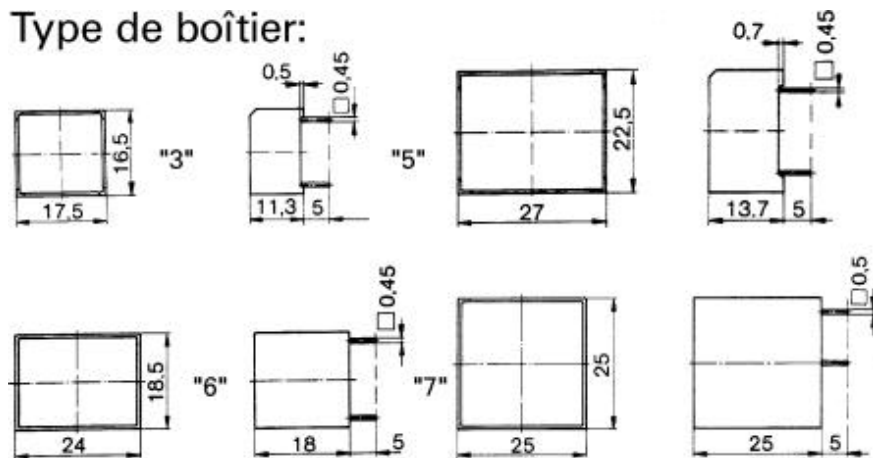


Fig. 8.4. Transformateurs d'impulsions (images-composants\ti2.gif).

### Connexions

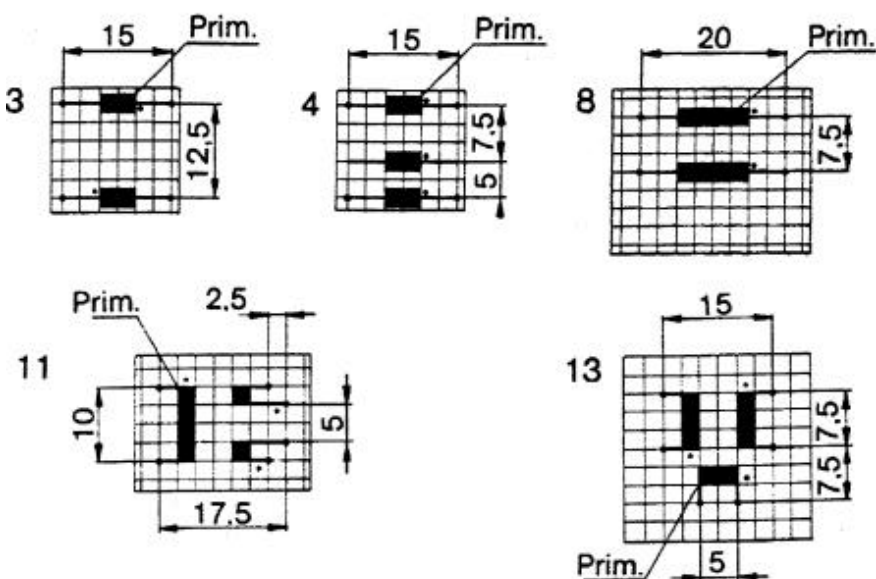


Fig. 8.5. Transformateurs d'impulsions (images-composants\ti3.gif).

## 8.5 Circuit imprimé de la version 2 du 16 mars 1999

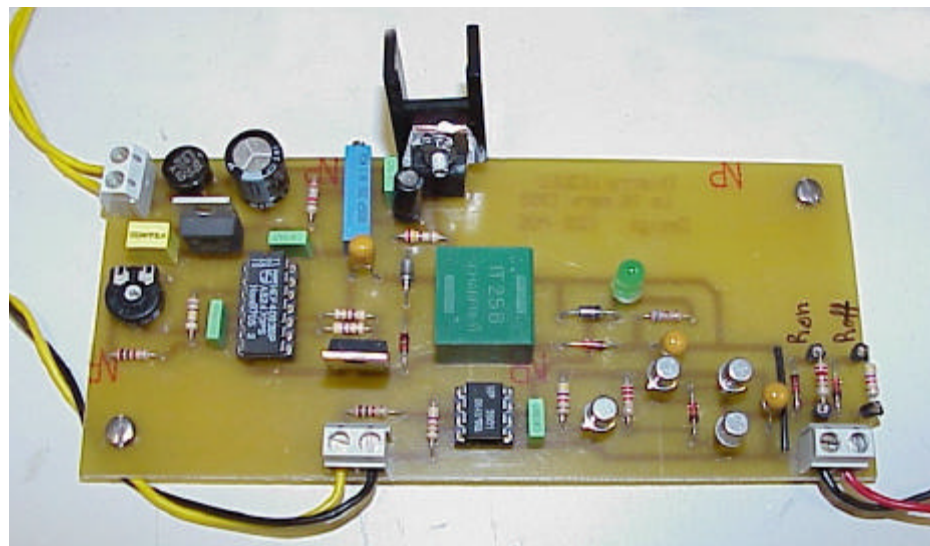


Fig. 8.6. Commande isolée pour MOSFET (images-maquettes\cde-mosfet1.jpg).

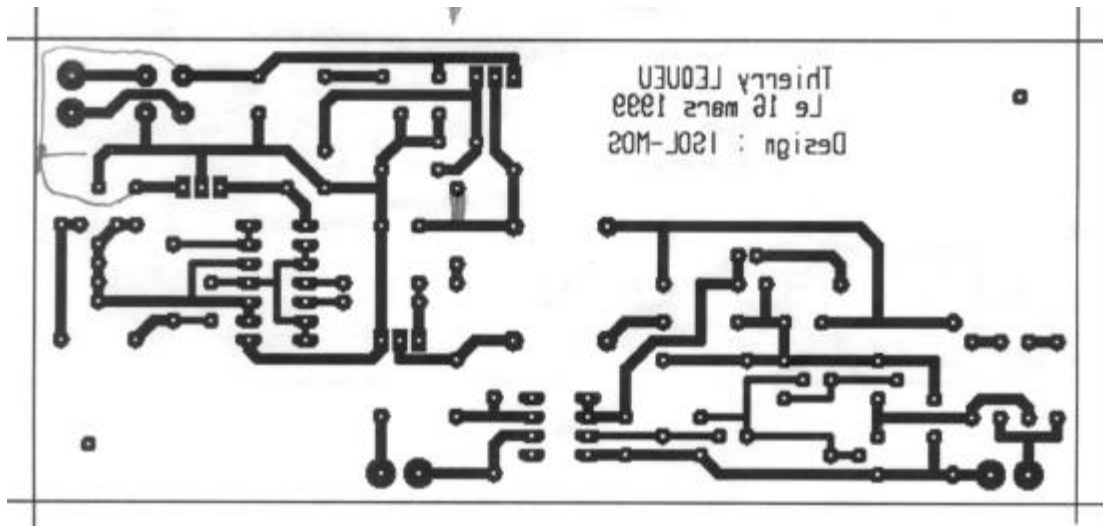


Fig. 8.7. Circuit imprimé coté cuivre (images-maquettes\isol\_mos11.jpg).

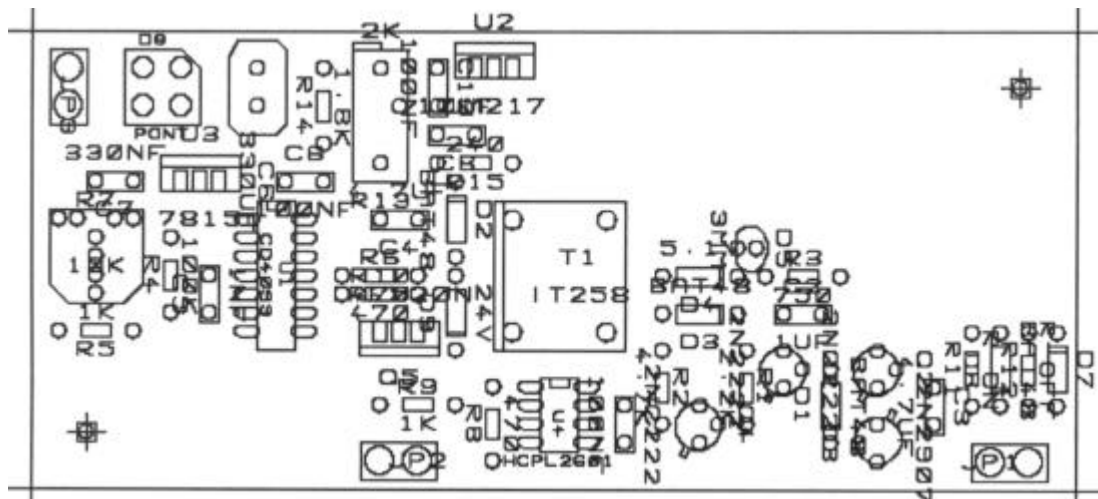
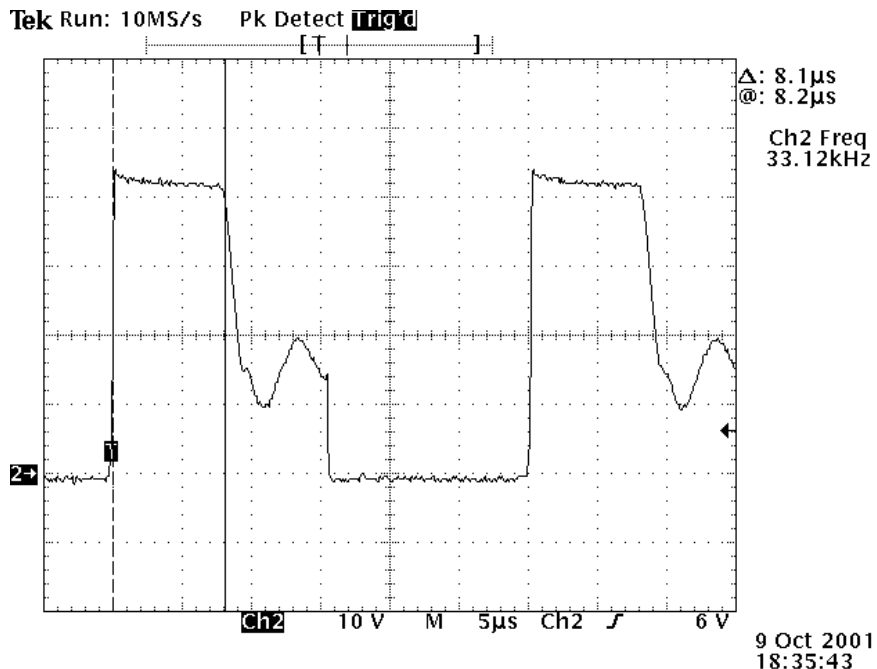


Fig. 8.8. Circuit imprimé coté composants (images-maquettes\isol\_mos21.jpg).

## 8.6 Rélevés des formes d'ondes – Réglages

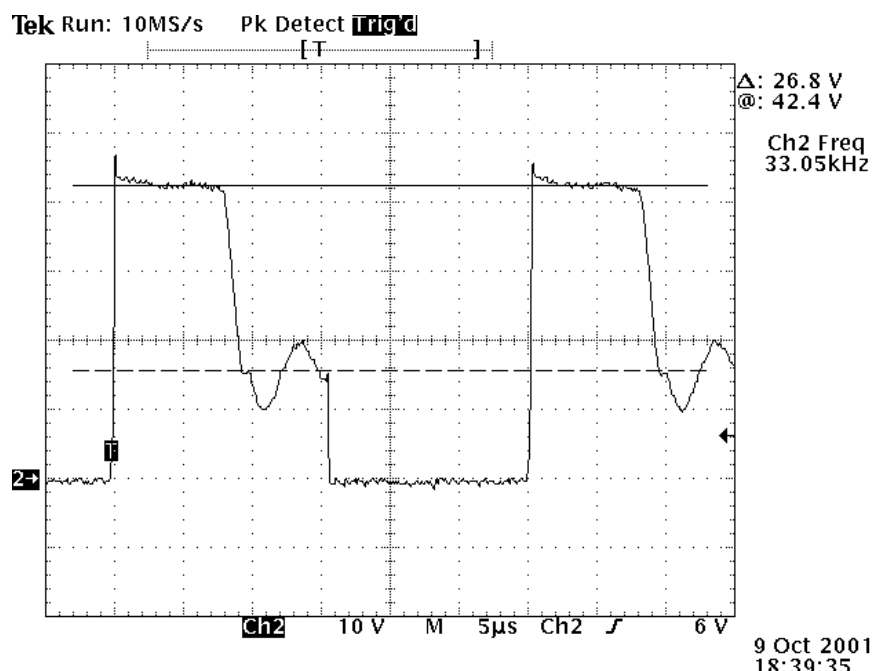
### 8.6.1 Fréquence de découpage

Il faut régler la résistance ajustable afin d'avoir une fréquence de découpage de 33 kHz,  $T = 30 \mu\text{s}$  (figure 8.9), pour  $C = 1 \text{ nF}$  et  $R_{\text{ajustable}}$  variant de 10 k à 32 k $\Omega$  (10 k $\Omega$  fixe + 22 k $\Omega$  ajustable)



La durée de démagnétisation dure ici environ 8  $\mu\text{s}$  et correspond à la décharge de l'inductance magnétisante dans la diode zener de 24 V.

La tension maximale aux bornes du transistor MOSFET de 42 V (figure 8.10) est égale à la somme de la tension d'alimentation du transformateur d'impulsions  $V_{\text{ADJ}}$  et de la tension de la diode zener 24 V



### 8.6.2 Régulateur de tension

Le régulateur LMx17 est ajusté afin d'avoir 15V de tension d'alimentation de l'étage de puissance de sortie. Le rapport de transformation de l'IT258 étant de 1, et en comptant 0,6V de chute de tension dans la diode de sortie, la tension de sortie du régulateur vaut 15,6V (15,66V mesuré pour 15,05V en sortie).

Il faut compter une consommation d'environ 80 mA à vide.

### 8.6.3 Exploitation

La figure 8.11 montre une commande de grille d'un transistor MOSFET IRF520 drain en l'air, à partir d'un signal de commande issue d'un GBF.

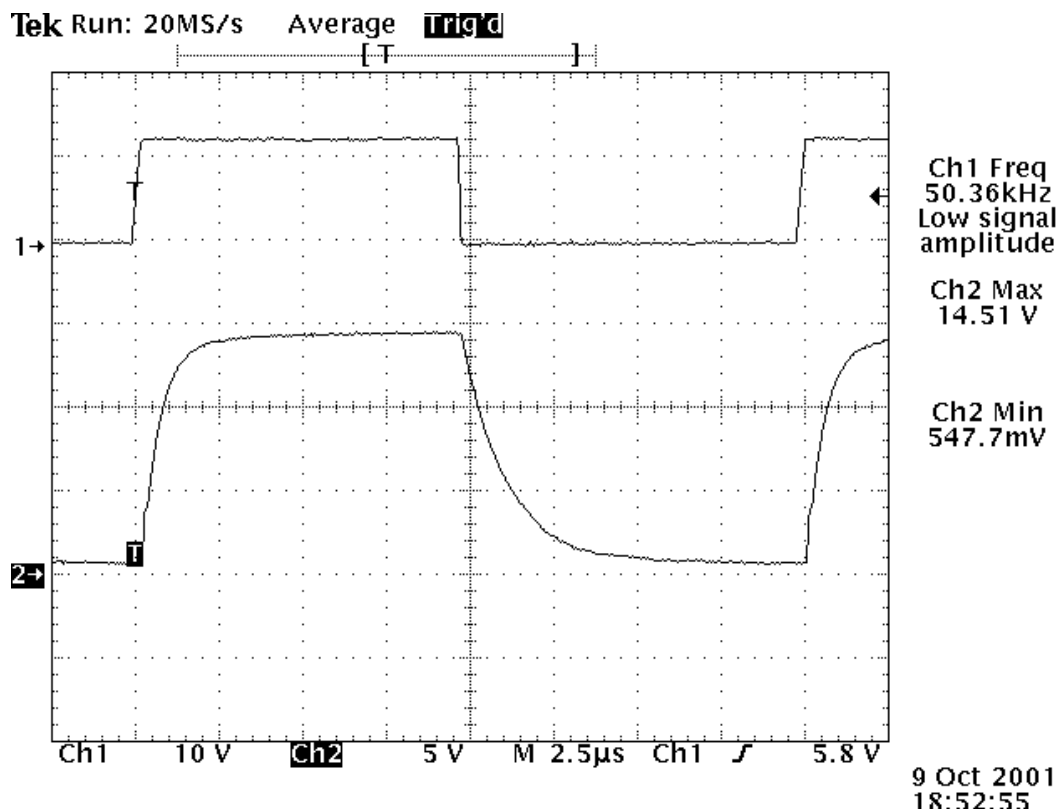


Fig. 8.11. Commande d'un transistor MOSFET IRF520 (images-maquettes\isol-mos02.pcx).

La résistance de charge vaut  $R_{ON} = 470 \Omega$  et la résistance de décharge vaut  $R_{OFF} = 1,2 \text{ k}\Omega$ . La capacité d'entrée du transistor IRF 520 vaut  $C_{ISS} = 500 \text{ pF}$  (environ). Le temps de charge vaut alors  $T_{ON} = 3 \times \tau = 705 \text{ ns}$  et le temps de décharge vaut  $T_{OFF} = 3 \times \tau = 1,8 \mu\text{s}$ .

## 8.7 Test en dV/dt de la commande isolée

Date : le jeudi 18 mars 1999.

Mesure de I : shunt 0,1V/A + 5 tours.

Mesure de V : sonde par 10.

### 8.7.1 Capacité entre la masse du redresseur et le GND du transistor

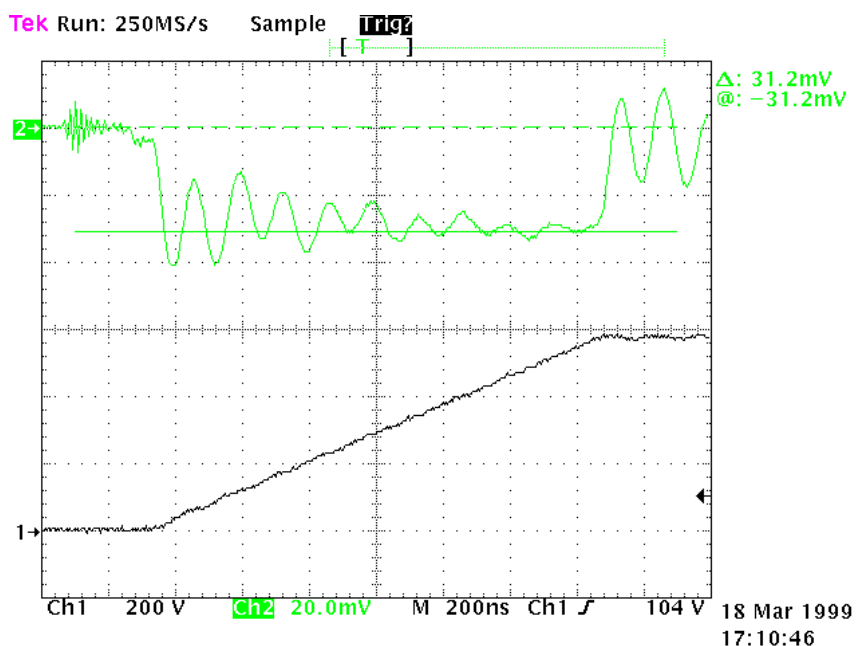


Fig. 8.12. Capacité du transformateur d'impulsion (1a) (images- maquettes\isol-mos04.bmp).

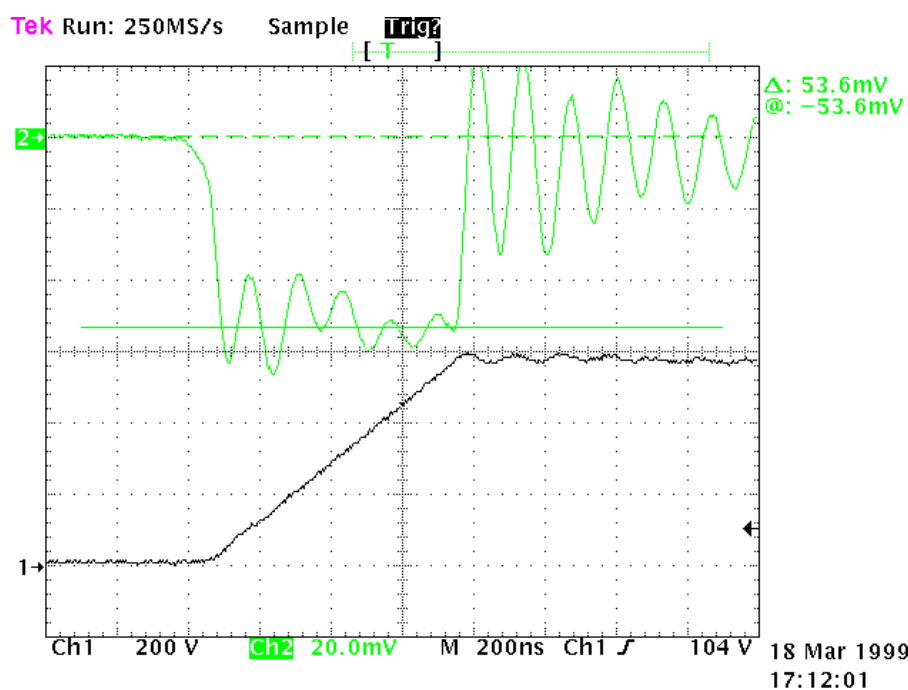


Fig. 8.13. Capacité du transformateur d'impulsion seule (1b) (images- maquettes\isol-mos05.bmp).

### 8.7.2 Capacité entre le GND du transistor et le GND de l'opto-coupleur

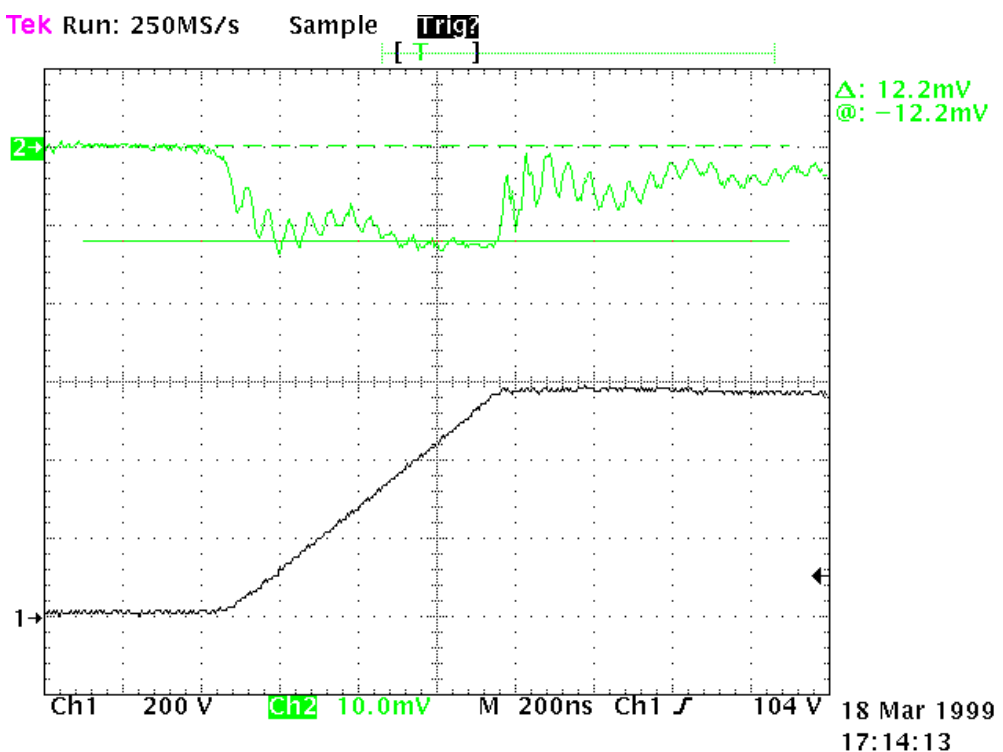


Fig. 8.14. Capacité de l'opto-coupleur (2a) (images- maquettes\isol-mos06.bmp).

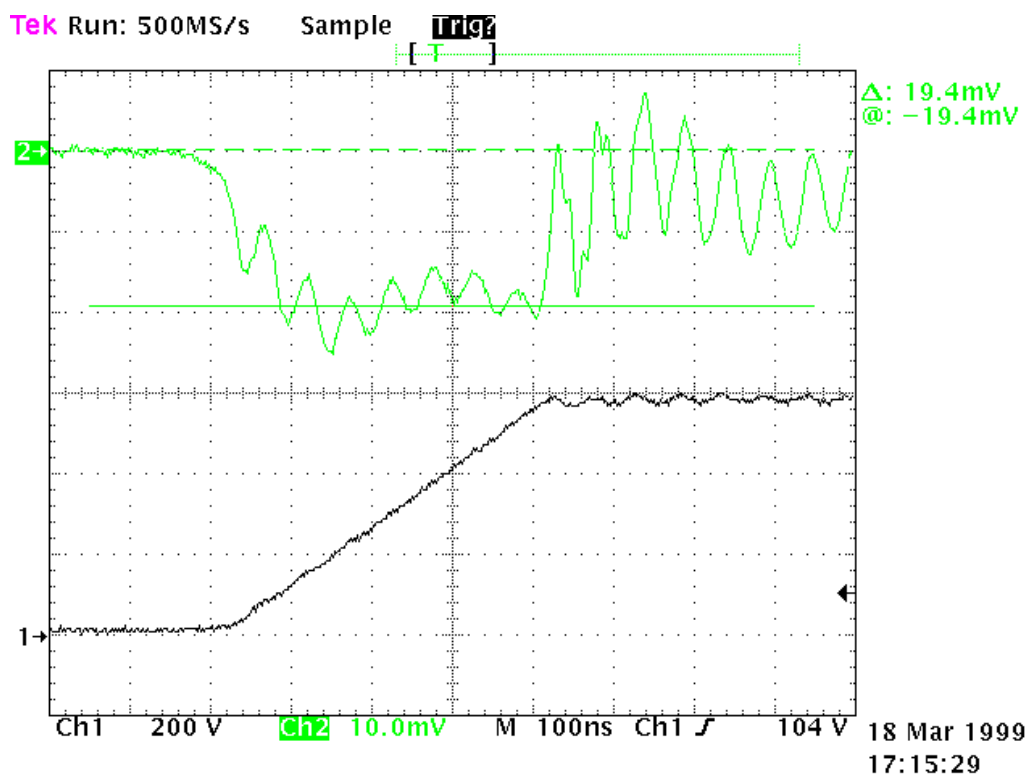


Fig. 8.15. Capacité de l'opto-coupleur (2b) (images- maquettes\isol-mos07.bmp).

### 8.7.3 Capacité entre la masse du redresseur et le GND de l'opto-coupleur

Idem précédemment.

### 8.7.4 Capacité du transformateur d'impulsion en série avec celle de l'opto-coupleur.

### 8.7.5 Capacité entre le GND du transistor et le GND de l'opto-coupleur - carte décablée

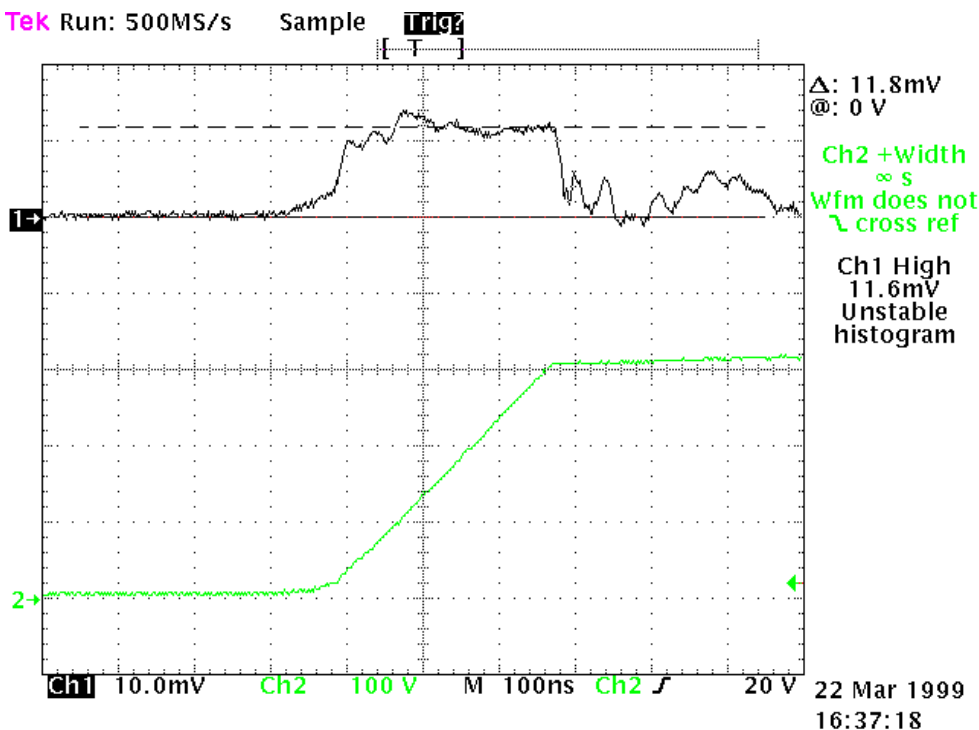


Fig. 8.16. Capacité de l'opto-coupleur - carte décablée (3) (images- maquettes\isol-mos08.bmp).

### 8.7.6 Calcul des capacités

Tableau 8.3. Calculs des capacités (isol-mos.xls / CAPACITES).

		Cas 1	Cas 1	Cas 2	Cas 2	Cas 3	Cas 4
Courant	dV en mV	30,0	53,6	10,0	19,4	33,0	11,8
	Shunt (V/A)	0,1	0,1	0,1	0,1	0,1	0,1
	Nb de spires	5	5	5	5	5	5
	I en mA	60	107	20	39	66	24
Tension	dV en V	580	580	580	580	580	300
Temps	dt en ns	1280	720	720	360	250	300
Capacité	C en pF	132	133	25	24	28	24

Cas 1 : Ck la capacité du transformateur d'impulsion est donnée à 80 pF pour un IT 258.

Cas 2 : la capacité de l'optocoupleur est donnée à 0.6 pF à 1 Mhz.

## 8.8 Essais en charge

Date : le jeudi 18 mars 1999.

Montage : Alimentation à découpage isolée de type "FORWARD" version 2

Tableau 8.4. Chute de tension dans le pont redresseur (*isol-mos.xls /VERSION 2*).

Ve DC en V	19,6	21,5	25,5	31,5
Ie DC en mA	125	125	126	127
Vc DC en V	18	20	24	30
Chute par diode (pont de diode)	0,8	0,75	0,75	0,75

Tableau 8.5. Chute de la tension de sortie (*isol-mos.xls /VERSION 2*).

Vout en V	15,01	14,87	14,83	14,78	14,54	14,28	14
Iout en mA	0	15	20	25	50	75	100
Calibre Iout	0,02	0,02	0,2	0,2	0,2	0,2	0,2
Iin en mA	121	135	140	145	160	193	216
Calibre Iin	0,3	0,3	0,3	0,3	0,3	0,3	0,3

Test sous 25V DC constant en entrée - IT258

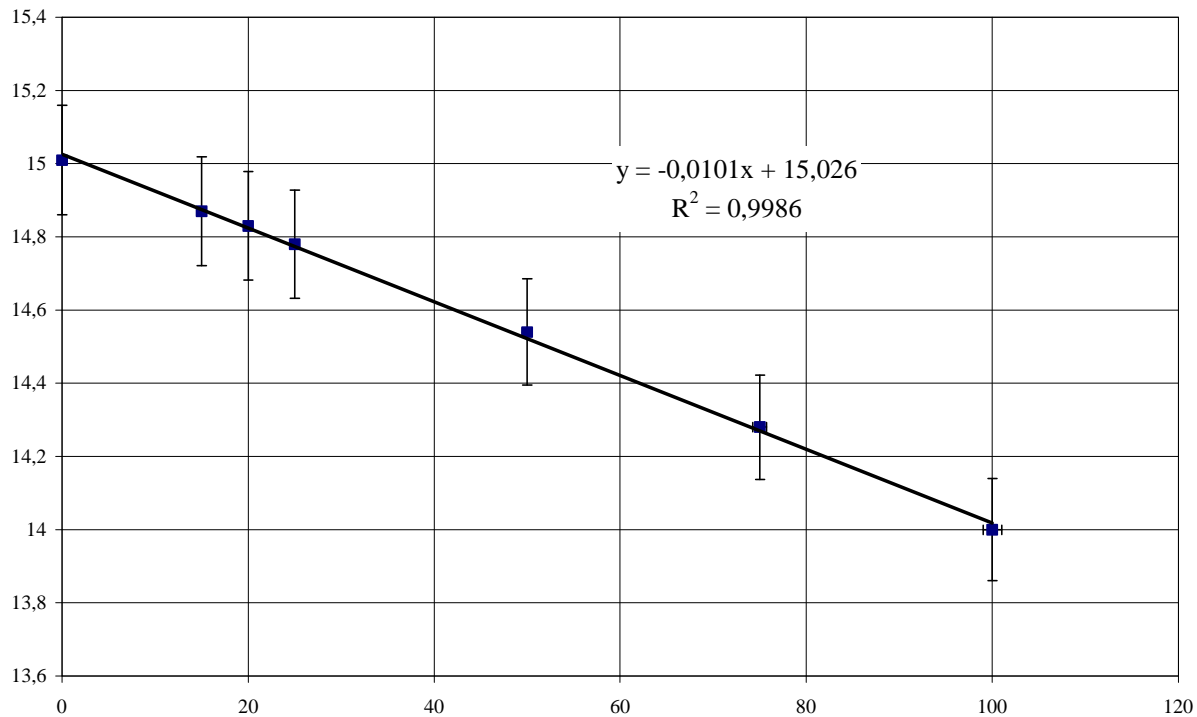


Fig. 8.17. Tension de sortie en fonction du courant de sortie (*isol-mos.xls /VERSION 2*).

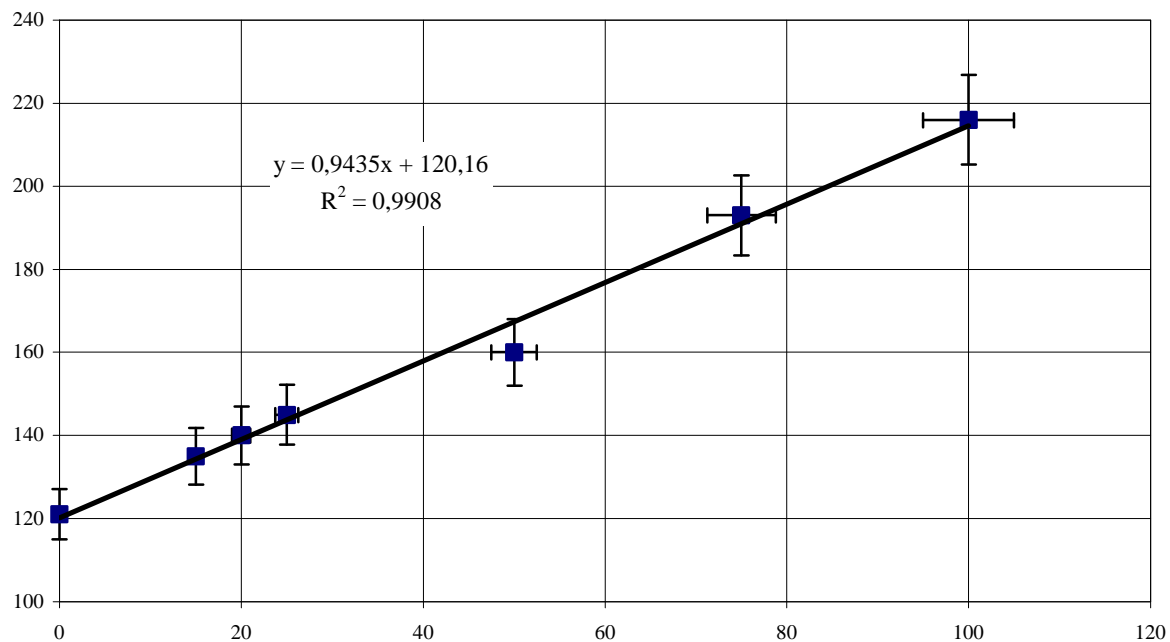
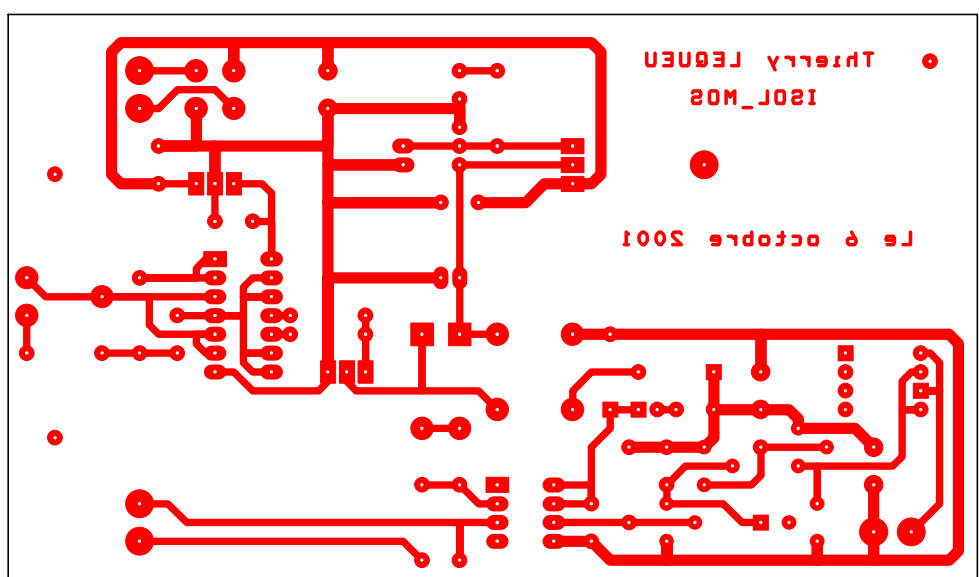
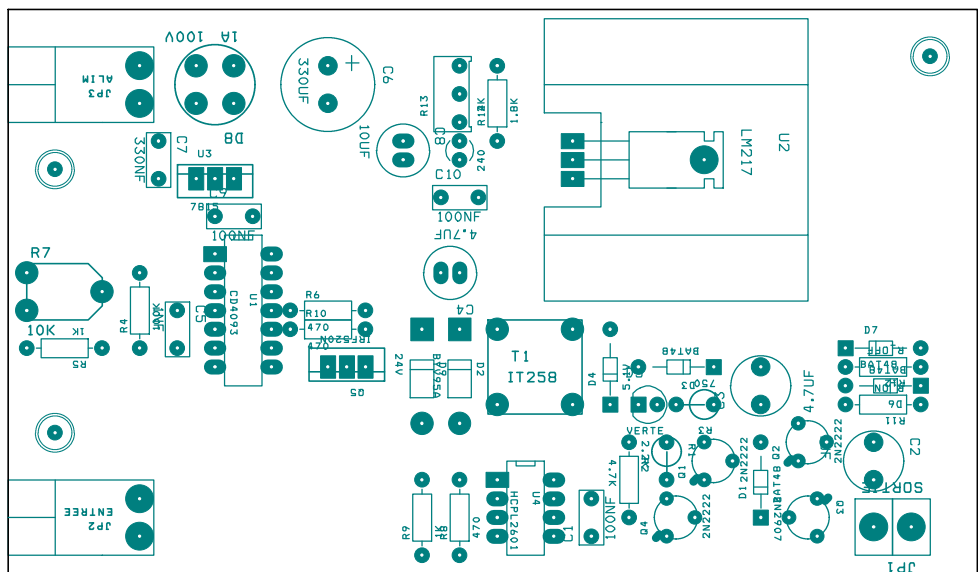


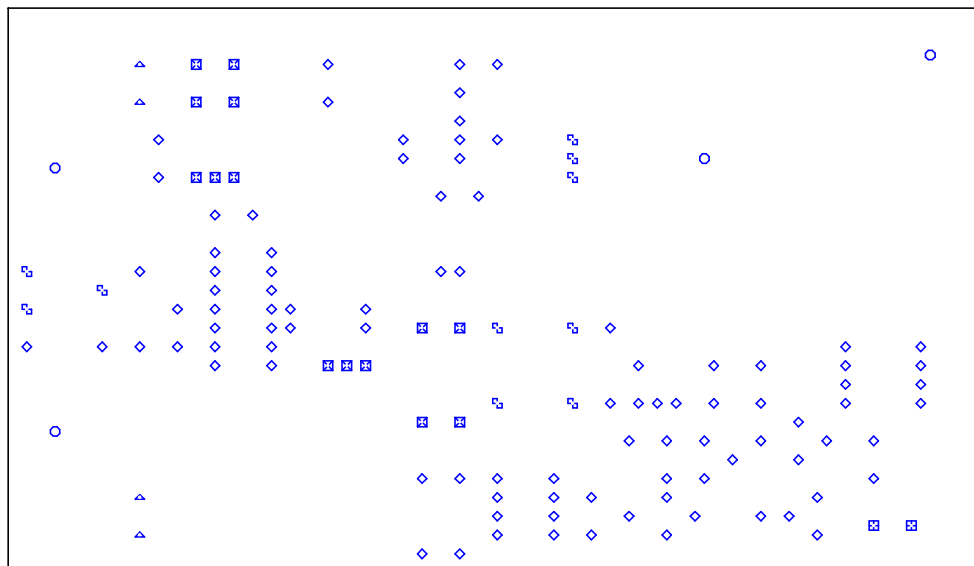
Fig. 8.18. Courant d'entrée en fonction du courant de sortie (isol-mos.xls /VERSION 2).

Réf.	Désignation	Qu.	Fournisseur	Date	Page	Code Cde	U.d.V.	Prix U.H.T.	Prix T.H.T.
C1,C6	100 nF100V Polyester	1	Radiospares	décembre-00		166-5973	10	16,09 F	1,61 F
C2	1uF 25V tantale	1	Radiospares	décembre-00		180-1668	10	10,00 F	1,00 F
C3,C4	4.7uF 25V tantale	2	Radiospares	décembre-00		180-1696	10	3,50 F	0,70 F
C5	1nF 100V polypropylène	1	Radiospares	décembre-00		115-691	5	9,92 F	1,98 F
D1,D2,D3,D8,D9	BAT48	5	Radiospares	décembre-00		251-3053	10	22,20 F	11,10 F
D4	zener 5.1V	1	Radiospares	décembre-00		283-019	3	3,90 F	1,30 F
D5	LED 3mm verte	1	Radiospares	décembre-00		113-4463	5	6,15 F	1,23 F
D6	zener 24V	1	Radiospares	décembre-00		112-7825	3	3,90 F	1,30 F
D7	1N4007	1	Radiospares	décembre-00		261-980	10	6,50 F	0,65 F
JP1 - SORTIE	Connecteur, bloc de jonction, circuit imprimé, pas 5mm, 2 points, Camdem,	1	Radiospares	décembre-00		131-8920	10	16,65 F	1,67 F
JP2 - ENTRÉE	Connecteur, bloc de jonction, circuit imprimé, pas 5mm, 2 points, Camdem,	1	Radiospares	décembre-00		131-8920	10	16,65 F	1,67 F
JP3 - ALIM	Connecteur, bloc de jonction, circuit imprimé, pas 5mm, 2 points, Camdem,	1	Radiospares	décembre-00		131-8920	10	16,65 F	1,67 F
OPTO1	HCPL2601	1	Radiospares	décembre-00		303-129	1	27,40 F	27,40 F
Q1,Q2,Q4	2N2222	3	Radiospares	décembre-00		295-028	1	3,53 F	10,59 F
Q3	2N2907	1	Radiospares	décembre-00		349-9043	5	24,00 F	4,80 F
Q5	IRF520N	1	Radiospares	décembre-00		295-371	1	9,79 F	9,79 F
R1	2.2K	1	Radioson				1	0,15 F	0,15 F
R2	4.7K	1	Radioson				1	0,15 F	0,15 F
R3	750	1	Radioson				1	0,15 F	0,15 F
R4	100K	1	Radioson				1	0,15 F	0,15 F
R5,R9	1K	2	Radioson				1	0,15 F	0,30 F
R6,R8,R10	470	3	Radioson				1	0,15 F	0,45 F
R7	10K	1	Radioson				1	0,15 F	0,15 F
R11	R_ON	1	Radioson				1	0,15 F	0,15 F
R12	R_OFF	1	Radioson				1	0,15 F	0,15 F
T1	IT258	1	Radiospare	décembre-00		173-6423	1	53,20 F	53,20 F
U1	CD4093	1	Radiospare	décembre-00		345-5712	1	1,97 F	1,97 F
Divers	Circuit imprimé S.F. 150x80 mm	120	IUT GEII				1	0,15 F	18,00 F

TOTAL H.T. :	153,42 F
dont TVA :	19,60% 30,07 F
	TOTAL T.T.C. : 183,49 F







DRILL CHART				
SYM	DIAM	TOL	QTY	NOTE
◊	0.787 mm		95	
■	0.991 mm		14	
田	1.000 mm		2	
■	1.194 mm		10	
△	1.499 mm		4	
○	3.200 mm		4	
TOTAL			129	

# High CMR, High Speed TTL Compatible Optocouplers

## Technical Data

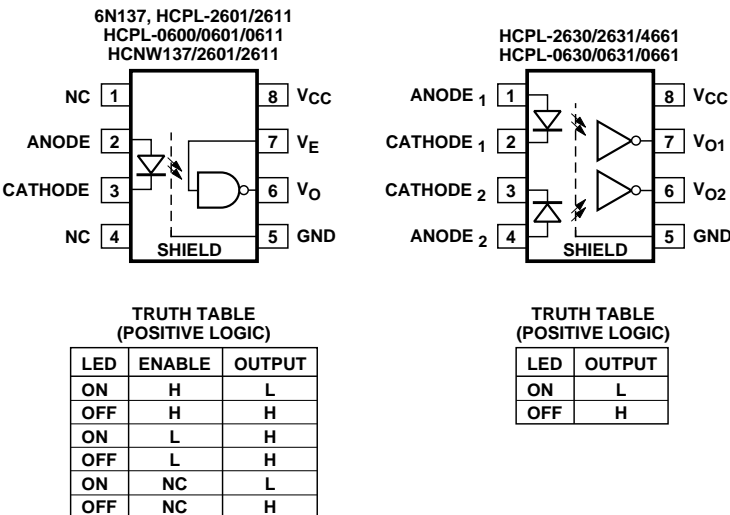
### Features

- **5 kV/μs Minimum Common Mode Rejection (CMR) at  $V_{CM} = 50$  V for HCPL-X601/X631, HCNW2601 and 10 kV/μs Minimum CMR at  $V_{CM} = 1000$  V for HCPL-X611/X661, HCNW2611**
- **High Speed:** 10 MBd Typical
- **LSTTL/TTL Compatible**
- **Low Input Current Capability:** 5 mA
- **Guaranteed ac and dc Performance over Temperature:** -40°C to +85°C
- **Available in 8-Pin DIP, SOIC-8, Widebody Packages**
- **Strobable Output (Single Channel Products Only)**
- **Safety Approval**  
UL Recognized - 2500 V rms for 1 minute and 5000 V rms\* for 1 minute per UL1577  
CSA Approved  
VDE 0884 Approved with  $V_{IORM} = 630$  V peak for HCPL-2611 Option 060 and  $V_{IORM} = 1414$  V peak for HCNW137/26X1  
BSI Certified  
(HCNW137/26X1 Only)
- **MIL-STD-1772 Version Available (HCPL-56XX/66XX)**

### Applications

- Isolated Line Receiver
- Computer-Peripheral Interfaces
- Microprocessor System Interfaces
- Digital Isolation for A/D, D/A Conversion
- Switching Power Supply
- Instrument Input/Output Isolation
- Ground Loop Elimination
- Pulse Transformer Replacement

### Functional Diagram



\*5000 V rms/1 Minute rating is for HCNW137/26X1 and Option 020 (6N137, HCPL-2601/11/30/31, HCPL-4661) products only.

A 0.1 μF bypass capacitor must be connected between pins 5 and 8.

**CAUTION:** It is advised that normal static precautions be taken in handling and assembly of this component to prevent damage and/or degradation which may be induced by ESD.

## 9.2A, 100V, 0.270 Ohm, N-Channel Power MOSFET

This N-Channel enhancement mode silicon gate power field effect transistor is an advanced power MOSFET designed, tested, and guaranteed to withstand a specified level of energy in the breakdown avalanche mode of operation. All of these power MOSFETs are designed for applications such as switching regulators, switching convertors, motor drivers, relay drivers, and drivers for high power bipolar switching transistors requiring high speed and low gate drive power. These types can be operated directly from integrated circuits.

Formerly developmental type TA09594.

### Ordering Information

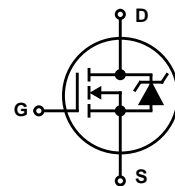
PART NUMBER	PACKAGE	BRAND
IRF520	TO-220AB	IRF520

NOTE: When ordering, use the entire part number.

### Features

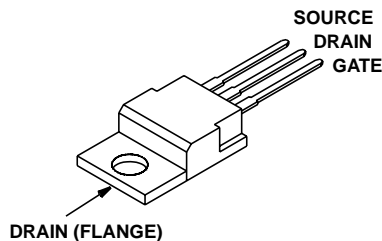
- 9.2A, 100V
- $r_{DS(ON)} = 0.270\Omega$
- SOA is Power Dissipation Limited
- Single Pulse Avalanche Energy Rated
- Nanosecond Switching Speeds
- Linear Transfer Characteristics
- High Input Impedance
- Related Literature
  - TB334 "Guidelines for Soldering Surface Mount Components to PC Boards"

### Symbol



### Packaging

JEDEC TO-220AB



## 1.2V TO 37V VOLTAGE REGULATOR

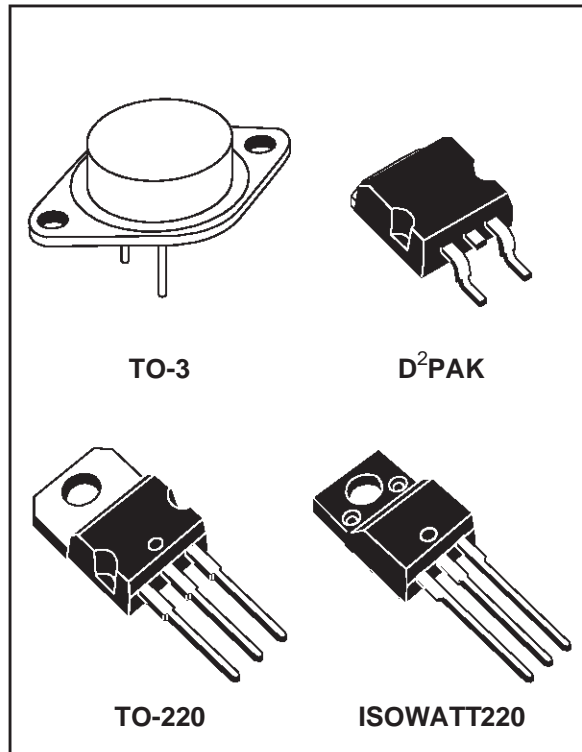
- OUTPUT VOLTAGE RANGE : 1.2 TO 37V
- OUTPUT CURRENT IN EXCESS OF 1.5A
- 0.1% LINE AND LOAD REGULATION
- FLOATING OPERATION FOR HIGH VOLTAGES
- COMPLETE SERIES OF PROTECTIONS : CURRENT LIMITING, THERMAL SHUTDOWN AND SOA CONTROL

### DESCRIPTION

The LM117/LM217/LM317 are monolithic integrated circuit in TO-220, ISOWATT220, TO-3 and D<sup>2</sup>PAK packages intended for use as positive adjustable voltage regulators.

They are designed to supply more than 1.5A of load current with an output voltage adjustable over a 1.2 to 37V range.

The nominal output voltage is selected by means of only a resistive divider, making the device exceptionally easy to use and eliminating the stocking of many fixed regulators.



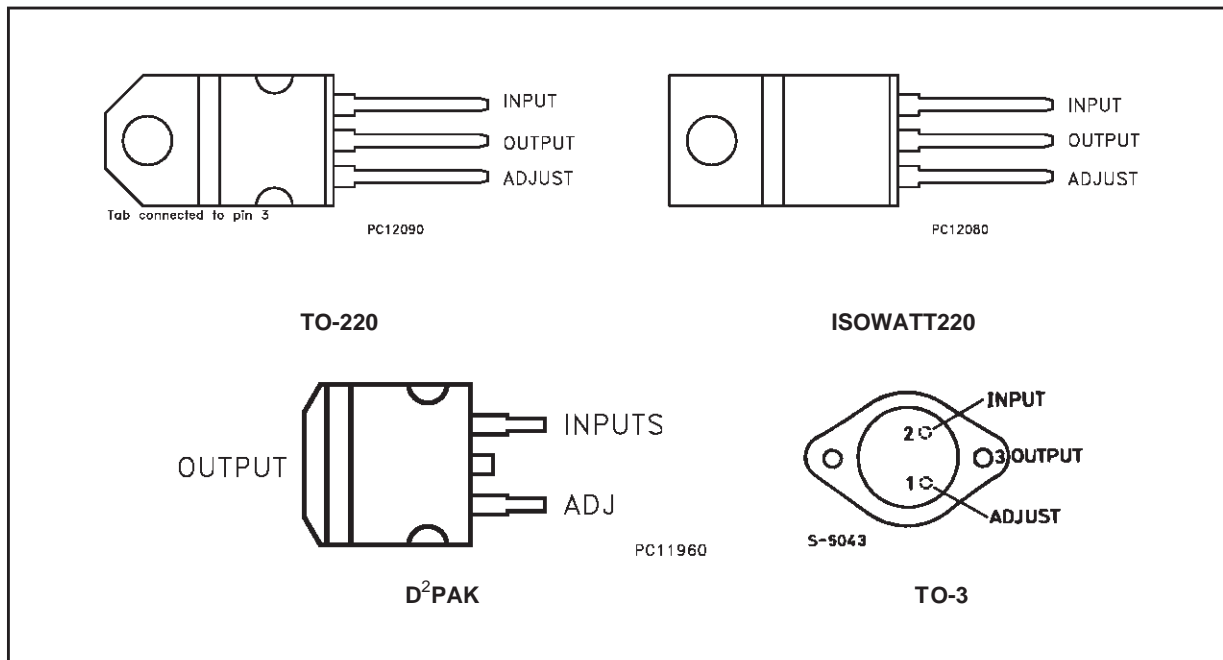
### ABSOLUTE MAXIMUM RATING

Symbol	Parameter	Value	Unit
$V_{i-o}$	Input-output Differential Voltage	40	V
$I_o$	Output Current	Internally Limited	
$T_{op}$	Operating Junction Temperature for: LM117 LM217 LM317	-55 to 150 -25 to 150 0 to 125	°C
$P_{tot}$	Power Dissipation	Internally Limited	
$T_{stg}$	Storage Temperature	- 65 to 150	°C

### THERMAL DATA

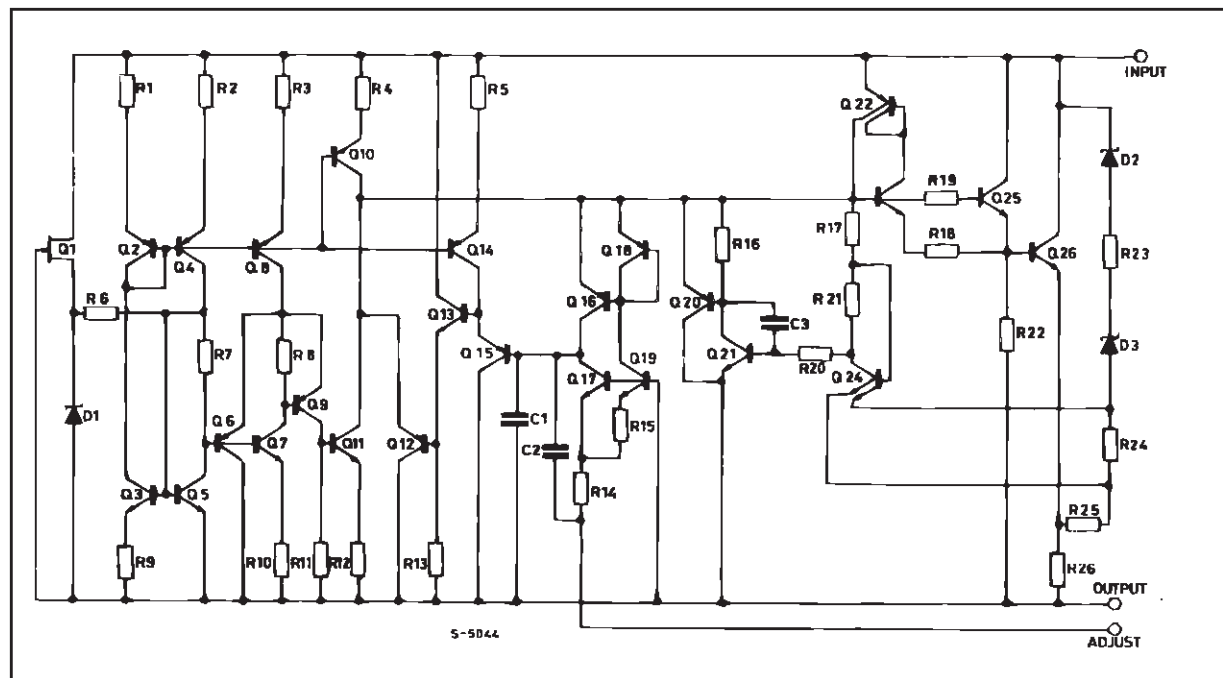
Symbol	Parameter	TO-3	TO-220	ISOWATT220	D <sup>2</sup> PAK	Unit
$R_{thj-case}$	Thermal Resistance Junction-case	Max 4	Max 3	Max 4	Max 3	°C/W
$R_{thj-amb}$	Thermal Resistance Junction-ambient	Max 35	Max 50	Max 60	Max 62.5	°C/W

**CONNECTION DIAGRAM AND ORDERING NUMBERS (top view)**



Type	TO-3	TO-220	ISOWATT220	D <sup>2</sup> PAK
LM117	LM117K			
LM217	LM217K	LM217T		LM217D2T
LM317	LM317K	LM317T	LM317P	LM317D2T

**SCHEMATIC DIAGRAM**



**Quadruple 2-input NAND gate****HEF4011B  
gates****DESCRIPTION**

The HEF4011B provides the positive quadruple 2-input NAND function. The outputs are fully buffered for highest noise immunity and pattern insensitivity of output impedance.

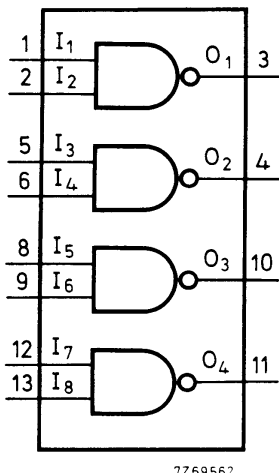


Fig.1 Functional diagram.

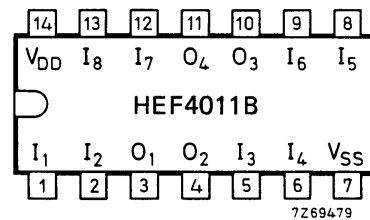


Fig.2 Pinning diagram.

HEF4011BP(N): 14-lead DIL; plastic (SOT27-1)

HEF4011BD(F): 14-lead DIL; ceramic (cerdip) (SOT73)

HEF4011BT(D): 14-lead SO; plastic (SOT108-1)

( ): Package Designator North America

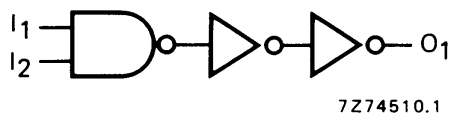


Fig.3 Logic diagram (one gate).

**FAMILY DATA, I<sub>DD</sub> LIMITS category GATES**

See Family Specifications